

<http://journal.rmutp.ac.th/>

## การศึกษาผลของกระแสอาร์มอนิกส์ต่อค่าสัญเสียงของหม้อแปลงไฟฟ้าเลื่อนเฟสและการทำให้เป็นจริงด้วยหม้อแปลงไฟฟ้าเลื่อนเฟส 15 องศา

ไพบูลย์ เกียรติสุขณารร<sup>1\*</sup> ภาสวิชญ์ กลั่รักษ์<sup>1</sup> ณรงค์ฤทธิ์ ยินดียม<sup>1</sup>

และ นภัทร วัจนะพินทร<sup>2</sup>

<sup>1</sup> คณะวิศวกรรมศาสตร์และสถาปัตยกรรมศาสตร์ มหาวิทยาลัยเทคโนโลยีราชมงคลสุวรรณภูมิ

<sup>2</sup> ศูนย์วิจัยและถ่ายทอดเทคโนโลยีพลังงานแสงอาทิตย์ มหาวิทยาลัยเทคโนโลยีราชมงคลสุวรรณภูมิ

<sup>1</sup> 450 หมู่ 6 ตำบลย่านยาว อำเภอสามชุก จังหวัดสุพรรณบุรี 72140

<sup>2</sup> 217 ตำบลส่วนใหญ่ อำเภอเมือง จังหวัดนนทบุรี 11000

---

รับบทความ 22 ธันวาคม 2563 แก้ไขบทความ 30 กันยายน 2564 ตอบรับบทความ 29 พฤศจิกายน 2564

### บทคัดย่อ

แนวโน้มการอนุรักษ์พลังงานที่ได้รับความสนใจอย่างแพร่หลายและการใช้หม้อแปลงไฟฟ้าเลื่อนเฟสเพิ่มขึ้นอย่างกว้างขวาง บทความนี้นำเสนอการศึกษาผลของกระแสอาร์มอนิกส์ต่อค่าสัญเสียงของหม้อแปลงไฟฟ้าเลื่อนเฟส ในบทความได้นำหม้อแปลงไฟฟ้าเลื่อนเฟสที่มีชุดลดทุติยภูมิจำนวน 4 ชุดโดยในแต่ละชุดมีมุมเลื่อนเฟสต่างกัน 15 องศา มาประยุกต์ใช้ในการหาความสัมพันธ์ระหว่างกระแสอาร์มอนิกส์และค่าสัญเสียงของหม้อแปลงด้วยการทดสอบหา กำลังไฟฟ้าในขณะจ่ายโหลดไม่เชิงเส้น 3 เฟส 3 สาย พร้อมกัน 2 ชุด และ 4 ชุด ทั้งกรณี 25%, 50%, 75% และ 100% ของกระแสพิกัดที่แตกต่างกัน ผลการวิจัยแสดงให้เห็นว่ากระแสอาร์มอนิกส์มีผลต่อค่าสัญเสียงจากการเปลี่ยนหัววนที่ชุดลดอย่างมีนัยสำคัญ การจ่ายโหลดไม่เชิงเส้นพร้อมกัน 2 ชุดพบว่าทั้งกรณีจ่ายโหลดชุดที่ 1 และ 2 พร้อมกัน และจ่ายโหลดชุดที่ 1 และ 3 พร้อมกัน จะมีค่าสัญเสียงที่ต่ำกว่าค่าเดียวกัน แม้ %THDi จะแตกต่างกัน แต่กรณีจ่ายโหลดชุดที่ 1 และ 2 พร้อมกัน %THDi จะมีค่าสูงกว่า 15% จึงไม่เป็นไปตามมาตรฐาน IEEE 519 ในขณะที่การจ่ายโหลดไม่เชิงเส้นพร้อมกัน 4 ชุดจะเป็นไปตามมาตรฐานและยังให้ค่าสัญเสียงน้อยกว่า 57% ของการจ่ายโหลดไม่เชิงเส้นแบบชุดเดียว ลักษณะดังกล่าวหากนำมาประยุกต์ใช้กับระบบควบคุมความเร็วของเตอร์จะไม่เพียงแค่ลดกระแสอาร์มอนิกส์เท่านั้นแต่ยังลดการใช้พลังงานได้ด้วย

**คำสำคัญ :** หม้อแปลงไฟฟ้าเลื่อนเฟส; คุณภาพไฟฟ้า; อาร์มอนิกส์; ค่าสัญเสียง; การประหยัดพลังงาน

---

\* ผู้นิพนธ์ประสานงาน โทร: +668 6789 1138, ไปรษณีย์อิเล็กทรอนิกส์: Paiboon.k@rmutsb.ac.th

<http://journal.rmutp.ac.th/>

# Investigation of the Effect of Harmonic Currents on Losses of Phase Shifting Transformers and Its Realization using a 15-Degree Phase shifting Transformer

Paiboon Kiatsookkanatorn<sup>1\*</sup> Passawit Klamrak<sup>1</sup> Narongrit Yindeeyom<sup>1</sup>  
and Napat Watjanatepin<sup>2</sup>

<sup>1</sup> Faculty of Engineering and Architecture, Rajamangala University of Technology Suvarnabhumi, Suphanburi Campus.

<sup>2</sup> SERTTC, Rajamangala University of Technology Suvarnabhumi, Nonthaburi Campus.

<sup>1</sup> 450 Moo 6, T. Yanyaw, A. Samchuk, Suphanburi, 72130, Thailand.

<sup>2</sup> 7/1 Nonthaburi-1, Nonthaburi, 11000, Thailand.

---

Received 22 December 2020; Revised 30 September 2021; Accepted 29 November 2021

## Abstract

The trend of energy savings has been widely interested and phase shift transformers (HMT) have been extensively used. This paper presents the investigation of the effect of harmonic currents on losses of the HMT. In this paper, a 15-degree HMT with quad secondary winding is applied to find the relationship between harmonic currents and losses of the HMT. This relation can be met by testing the active power of primary and secondary sides while the HMT supplies for two and four non-linear loads at 25%, 50%, 75%, and 100% rated currents, respectively. The results reveal that harmonic currents affect winding eddy current losses significantly and the losses for loading the two secondaries 1 and 2 are the same as loading the two secondaries 1 and 3 while both %THDi are different. However, for loading the secondaries 1 and 2, the %THDi is more than 15% so it is not met IEEE 519 Std. while the HMT is supplied with four loads, the %THDi has met IEEE 519 Std. and the losses are less than 57% compared to one load. As a result of these, if the HMT is applied to an adjustable speed drive system, it is not only reduced the harmonics but also saved the energies.

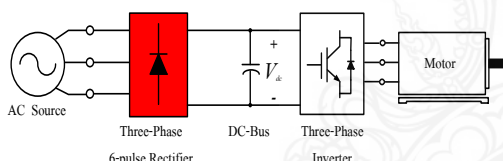
**Keywords :** Phase Shifting Transformers; Power Quality; Harmonics; Losses; Energy Savings

---

\* Corresponding Author. Tel.: +668 6789 1138, E-mail Address: Paiboon.k@rmutsb.ac.th

## 1. บทนำ

ระบบควบคุมความเร็วอัตโนมัติ (Adjustable Speed Drive, ASD) ดังแสดงในรูปที่ 1 เป็นโหลดอิเล็กทรอนิกส์กำลังชัตตันที่ได้รับความนิยมแพร่หลายในอุตสาหกรรม[1] โหลดชนิดนี้จะมีการเปลี่ยนแปลงกระแสในเชิงพลวัตซึ่งมีวงจรเรียงกระแส 3 เฟสแบบ 6 พลัสดำรงหน้าที่เป็นวงจรส่วนหน้า(Front-End) ลักษณะดังกล่าวทำให้เป็นสมอโหลดไม่เชิงเส้นแบบ 3 เฟส 3 สายที่สร้างกระแสของนิกส์เชิงพลวัตอันดับที่  $6m \pm 1$  เมื่อ  $m = 1, 2, 3, \dots$  โดยค่าความผิดเพี้ยน harmonic ของนิกส์รวมของกระแส(THDI) จะมีค่าประมาณ 30% ทำให้มีค่าสูงเกินกว่ามาตรฐาน[2], [3] และส่งผลให้เกิดปัญหาคุณภาพไฟฟ้าต่อระบบไฟฟ้าได้ นอกจากนั้นหากกระแสของนิกส์ดังกล่าวไหลผ่านหม้อแปลงไฟฟ้าจะทำให้มีค่าสูญเสียเพิ่มขึ้น[4]



รูปที่ 1 ระบบควบคุมความเร็วอัตโนมัติในอุตสาหกรรม

จากปัญหาดังกล่าวจึงมีงานวิจัยมากมายได้นำเสนอวิธีการลดกระแสของหม้อแปลงไฟฟ้าเลื่อนเฟสแบบ 6 พลัสด้วยวิธีการลดอาร์มอนิกส์ได้แต่ระดับอาร์มอนิกยังมีค่าสูง ในขณะที่การใช้งานกรองแบบพาสซีฟสามารถลดอาร์มอนิกให้มีค่าต่ำได้ แต่จะมีข้อจำกัดเรื่องโหลดที่มีการเปลี่ยนแปลงเชิงพลวัต การใช้งานกรองแบบแอคทีฟก็เป็นแนวทางหนึ่งที่ดีซึ่งรองรับกับโหลดที่มีการเปลี่ยนแปลงเชิงพลวัตได้ และสามารถเลือกลดอันดับอาร์มอนิกได้ตามต้องการแต่ว่ากรองแบบนี้มีราคาสูงมาก การใช้หม้อแปลงไฟฟ้าเลื่อนเฟส (Phase shifting Transformers) จึงเป็นวิธีการหนึ่งที่ได้ถูกนำมาใช้อย่างแพร่หลาย[6]-[17] เพื่อลดกระแสของนิกส์ของวงจร

เรื่องกระแสแบบหลายพลัสด้วยลักษณะการใช้งานที่นำขอดวดด้านทุติยภูมิแต่ละชุดมาจ่ายโหลดร่วมกันอย่างไรก็ตามหม้อแปลงแบบนี้ยังสามารถนำมาใช้ในการลดกระแสของนิกส์สำหรับการจ่ายโหลดแต่ละชุดอย่างอิสระได้ด้วย[18] ลักษณะดังกล่าวจึงสามารถนำมาประยุกต์ใช้เพื่อลดกระแสของนิกส์ของเครื่องจักรที่มีระบบควบคุมความเร็วในงานอุตสาหกรรมได้

จักข้อมูลที่ได้กล่าวมาในเบื้องต้นหากใช้หม้อแปลงไฟฟ้าเลื่อนเฟสมาลดกระแสของนิกส์ออกจากจะทำให้เป็นไปตามมาตรฐานและระบบไฟฟ้ามีสไตรภาพแล้ว ยังทำให้หม้อแปลงไฟฟ้าสามารถจ่ายโหลดได้เพิ่มขึ้น[19] อายุการใช้งานยาวนานขึ้น[20] และที่สำคัญยังทำให้ค่าสูญเสียที่เกิดจากผลของการกระแสของนิกส์ลดลงอีกด้วย ซึ่งค่าสูญเสียที่ลดลงดังกล่าวจะส่งผลให้ผู้ใช้ไฟมีต้นทุนรายจ่ายลดลง อย่างไรก็ตามยังไม่มีงานวิจัยใดนำเสนอให้เห็นว่าเมื่อนำหม้อแปลงเลื่อนเฟสมาจ่ายโหลดไม่เชิงเส้นแต่ละชุดอย่างอิสระค่าสูญเสียที่หม้อแปลงจะลดลงอย่างไร ซึ่งจะเป็นข้อมูลที่สำคัญต่อภาคอุตสาหกรรมที่สนใจด้านการอนุรักษ์พลังงาน

บทความนี้นำเสนอการศึกษาผลของกระแสของนิกส์ต่อค่าสูญเสียของหม้อแปลงไฟฟ้าเลื่อนเฟสแบบ 6 พลัสด้วยทุติยภูมิ 4 ชุด ซึ่งจะมีประเด็นที่จะนำเสนอต่อไปนี้

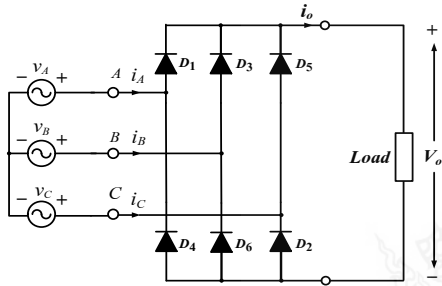
- ประยุกต์ใช้หม้อแปลงไฟฟ้าเลื่อนเฟส 15 องศาแบบลดด้วยทุติยภูมิ 4 ชุด ในการจ่ายโหลดไม่เชิงเส้น 3 เฟส 3 สายแต่ละชุดอย่างอิสระที่เป็นสมอโหลดระบบควบคุมความเร็วอัตโนมัติ
- แสดงผลการทดสอบค่าสูญเสียของหม้อแปลงไฟฟ้าเลื่อนเฟสเมื่อจ่ายโหลด 2 ชุด และ 4 ชุดพร้อมกันรวมทั้งค่าร้อยละ(%)ของการจ่ายโหลดที่แตกต่างกันด้วย
- หากความสัมพันธ์ระหว่างค่าสูญเสียของหม้อแปลงไฟฟ้าต่อกระแสของนิกส์ที่มีปริมาณและอันดับแตกต่างกัน
- แสดงการประยุกต์พลังงานจากผลของการกระแสของนิกส์ที่ลดลงและค่าตอบแทนคืนกลับ

## 2. ระบบปริมาณวิจัย

### 2.1 โหลดไม่เชิงเส้น 3 เฟส 3 สาย โดยอาศัยวงจร

#### เรียงกระแส 6 พลั๊ส (B6)

จากรูปที่ 1 จะเห็นได้ว่าระบบควบคุมความเร็วมอเตอร์จะมีวงจรเรียงกระแส 3 เฟสแบบ 6 พลั๊สซึ่งจะทำหน้าที่เป็นโหลดไม่เชิงเส้นเชื่อมต่อโดยตรงเข้ากับระบบไฟฟ้าดังแสดงในรูปที่ 2 วงจรนี้จะประกอบด้วยไดโอด 6 ตัว ทำหน้าที่แปลงผังไฟฟ้ากระแสสลับเป็นไฟฟ้ากระแสตรงป้อนให้กับอินเวอร์เตอร์



รูปที่ 2 วงจรเรียงกระแส 3 เฟสแบบ 6 พลั๊ส

จากรูปที่ 2 แรงดันด้านเข้าที่เป็นรูปคลื่นไอน์ที่มีเฉพาะความถี่หลักมุลสามารถเขียนแทนได้ตามสมการที่ (1) และเมื่อนำมาเป็นแหล่งจ่ายป้อนให้กับวงจรเรียงกระแส 3 เฟสแบบบริดจ์ 6 พลั๊สจะทำให้กระแสมีองค์ประกอบของอาร์มอนิกส์ซึ่งสามารถแทนได้ด้วยอนุกรมฟูเรียร์[21] ตามสมการที่ (2)

$$v(t) = V_{1,m} \sin(\omega_l t + \theta_l) \quad (1)$$

$$i(t) = I_{1,m} \sin(\omega_l t - \phi_l) + \sum_{n=6k \pm 1}^{\infty} (-1)^k I_{n,m} \sin n(\omega_l t - \phi_n) \quad (2)$$

โดยที่

$V_{1,m}$  = แรงดันค่ายอดที่ความถี่หลักมุล

$I_{1,m}$  = กระแสค่ายอดที่ความถี่หลักมุล

$I_{n,m}$  = กระแสค่ายอดในแต่ละอันดับอาร์มอนิก

$n$  = อันดับอาร์มอนิก

$\omega_l$  = ความถี่หลักมุล

$\phi_n$  = มุมไฟฟาระหว่างแรงดันและกระแส

จากสมการที่ (1) และ (2) ค่ากำลังไฟฟ้าจึงสามารถคำนวณได้ตามสมการที่ (3)

$$\left. \begin{aligned} P &= \sum_{n=0}^{\infty} P_n = V_0 I_0 + \sum_{n=1}^{\infty} \left( \frac{V_{n,m} I_{n,m}}{2} \right) \cos(\theta_n - \phi_n) \\ &= \left( \frac{V_{1,m} I_{1,m}}{2} \right) \cos(\theta_l - \phi_l) = V_{1,rms} I_{1,rms} \cos(\theta_l - \phi_l) \end{aligned} \right\} \quad (3)$$

และค่าความผิดเพี้ยนอาร์มอนิกส์รวมกระแส(Total Harmonic Distortion : THD<sub>i</sub>) สามารถนิยามได้จาก

$$THD_i = \frac{\sqrt{I_{rms}^2 - I_{1,rms}^2}}{I_{1,rms}} \quad (4)$$

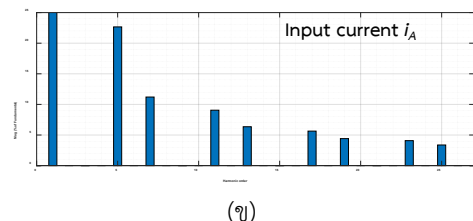
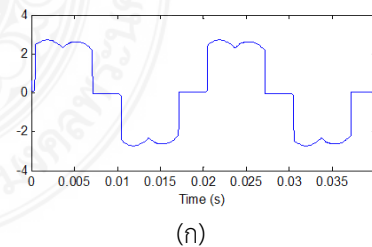
โดยที่ค่ากระแสอาร์มอนิกส์คือ

$$I_{rms} = \sqrt{\sum_{n=0}^{\infty} I_{n,rms}^2} = \sqrt{I_0^2 + \sum_{n=1}^{\infty} \left( \frac{I_{n,m}}{\sqrt{2}} \right)^2} \quad (5)$$

และในกรณีนี้จะได้ตัวประกอบกำลัง(Power factor)

$$PF = \frac{P}{S} = \frac{P}{V_{rms} I_{rms}} = \underbrace{\left( \frac{I_{1,rms}}{I_{rms}} \right)}_{DF} \cos(\theta_l - \phi_l) \quad (6)$$

จากรูปที่ 2 สามารถแสดงกระแสด้านเข้าได้ดังรูปที่ 3(ก) และสามารถแสดงสเปกตรัมของกระแสด้านเข้าได้ดังรูปที่ 3(ข)



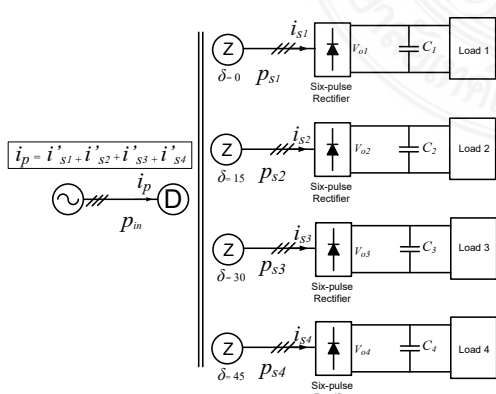
รูปที่ 3 กระแสของวงจรเรียงกระแสแบบ 6 พลั๊สและสเปกตรัม

## 2.2 กระแสสารมอนิกส์ต่อค่าสูงเสียงหม้อแปลงไฟฟ้าเลื่อนเฟส

หม้อแปลงไฟฟ้าเลื่อนเฟสเป็นหม้อแปลงที่มีลักษณะแตกต่างจากหม้อแปลงไฟฟ้า 3 เฟสทั่วไป ตรงที่ขอลดด้านทุติยภูมิจะมีอย่างน้อย 2 ชุด [22] โดยแต่ละชุดจะมีมุมเลื่อนเฟสที่แตกต่างกันอาทิเช่น 15, 20 หรือ 30 องศาเป็นต้น ซึ่งมุมเลื่อนเฟสที่แตกต่างกันของขอลดทั้งสองชุดนี้จะทำให้สามารถลดกระแสสารมอนิกส์ที่หล่อผ่านหม้อแปลงไฟฟ้าได้ ดังนั้นจึงมีชื่อที่นิยมเรียกว่า “หม้อแปลงไฟฟ้าลดสารมอนิกส์” (Harmonic Mitigating Transformers, HMT) โดยในที่นี้จะเรียกว่า HMT ซึ่งปัจจุบันมีบริษัทต่างประเทศที่ผลิตในเชิงพาณิชย์ [23]

### 2.2.1 HMT แบบขอลดทุติยภูมิ 4 ชุด

特รากุลของ HMT จะมีความแตกต่างกันไปขึ้นอยู่กับจำนวนชุดของขอลดด้านทุติยภูมิ อาทิเช่น 2, 3 และ 4 ชุด โดยส่วนมากจะถูกนำมาประยุกต์ใช้สำหรับวงจรเรียงกระแส 12 พัลลส์ 18 พัลลส์ และ 24 พัลลส์ ตามลำดับ อย่างไรก็ตามในบทความนี้จะใช้ HMT ที่มีขอลดด้านปฐมภูมิ 1 ชุด และด้านทุติยภูมิจำนวน 4 ชุด (Quad Secondary Winding) ที่มีมุมเลื่อนเฟสในแต่ละชุด 15 องศามาประยุกต์ใช้จ่ายโดยลดไม่เขิงเส้นที่แยกอิสระต่อกันดังแสดงในรูปที่ 4

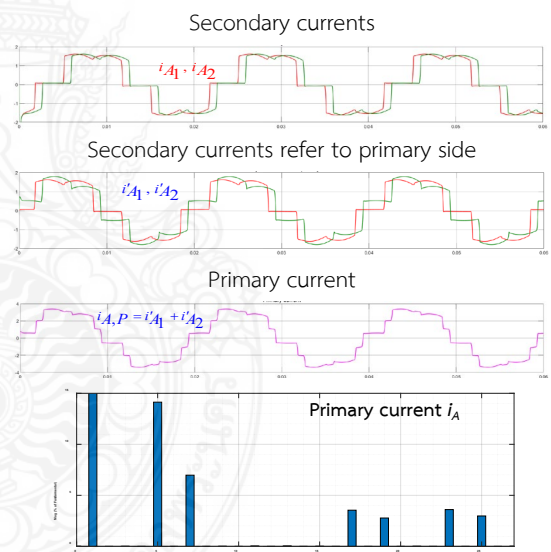


รูปที่ 4 HMT แบบขอลดทุติยภูมิ 4 ชุด

รูปที่ 4 แสดง HMT แบบขอลดทุติยภูมิ 4 ชุดที่ใช้วงจรเรียงกระแส 3 เฟส 6 พัลลส์ (B6) เป็นตัวแทนของโอลด์ไม่เขิงเส้นในระบบไฟฟ้า 3 เฟส 3 สาย และการจ่ายโหลดในแต่ละชุดจะแยกอิสระต่อกันจึงสามารถแบ่งออกได้เป็น 2 กรณี คือกรณีจ่ายโหลด 2 ชุดพร้อมกัน และกรณีจ่ายโหลด 4 ชุดพร้อมกัน

### ก) กรณีจ่ายโหลด 2 ชุดพร้อมกัน

กรณีจ่ายโหลดสองชุดยังสามารถแบ่งออกเป็นแบบจ่ายโหลดชุดที่ 1 และ 2 พร้อมกันซึ่งแบบนี้จะมีมุมเลื่อนเฟส 15 องศาและแบบจ่ายโหลดชุดที่ 1 และ 3 พร้อมกันแบบนี้จะมีมุมเลื่อนเฟส 30 องษา ทั้งสองแบบให้ผลของการลดกระแสสารมอนิกส์ในแต่ละอันดับที่แตกต่างกันดังแสดงการเปรียบเทียบในรูปที่ 5 และ 6

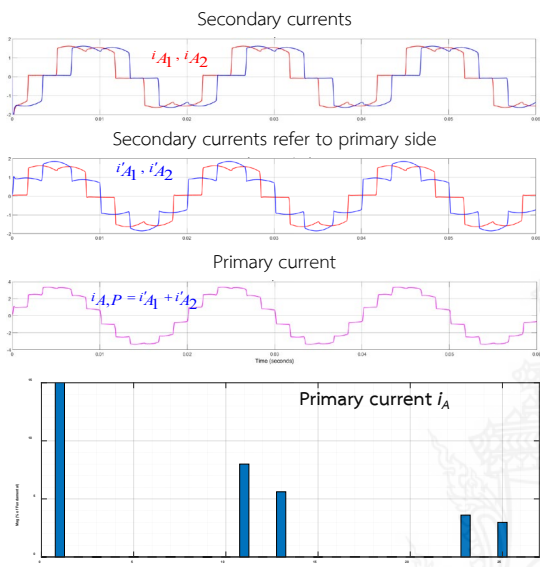


รูปที่ 5 กระแสและสเปกตรัมของ HMT เมื่อจ่ายโหลด

ชุดที่ 1 และ 2 พร้อมกัน (เลื่อนเฟส 15 องศา)

รูปที่ 5 แสดงผลการจำลองเมื่อใช้ชุดที่ 1 และ 2 พร้อมกัน ด้านบนคือกระแสไฟ A ด้านทุติยภูมิของหม้อแปลงเลื่อนเฟสชุดที่ 1 และ 2 โดยทั้งคู่จะมีเฟสต่างกัน 15 องศา ถัดมาคือกระแสด้านทุติยภูมิที่แปลงข้ามมายังด้านปฐมภูมิ ถัดมาคือกระแสไฟ A ด้านปฐม-

ภูมิ และล่างสุดคือสเปกตรัมของกระแสด้านปฐมภูมิ ผลการจำลองแสดงให้เห็นว่าการจ่ายไฟหลอดชุดที่ 1 และ 2 พร้อมกันจะสามารถลดกระแสเสียงรบกวนิกส์อันดับที่ 11 และ 13 ค่าความผิดเพี้ยนาร์มอนิกส์รวมของกระแสลดลงจาก 30.32% เหลือ 17.85%

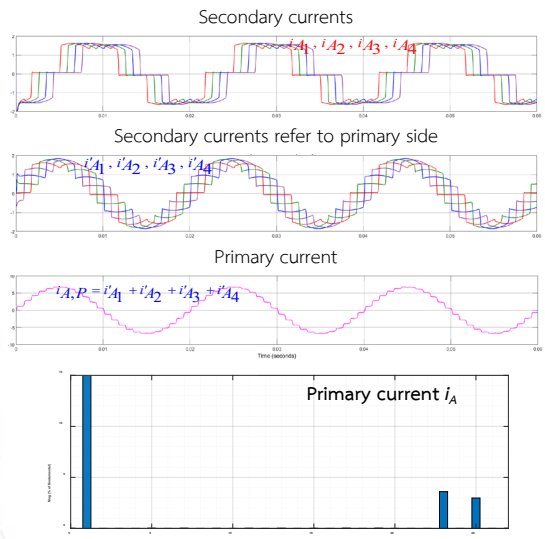


รูปที่ 6 กระแสและสเปกตรัมของ HMT เมื่อจ่ายไฟหลอดชุดที่ 1 และ 3 พร้อมกัน (เลื่อนไฟ 30 องศา)

จากรูปที่ 6 แสดงให้เห็นได้ว่าการใช้ HMT ชุดที่ 1 และ 3 พร้อมกัน ซึ่งเป็นกรณีที่ห้องคุ้งมีไฟสองตัวกัน 30 องศา สามารถลดกระแสเสียงรบกวนิกส์อันดับที่ 5, 7, 17 และ 19 อันดับาร์มอนิกส์ที่ลดลงจะแตกต่างจากกรณีการใช้ HMT ชุดที่ 1 และ 2 พร้อมกันจึงสามารถนำมารวบรวมผลของกระแสเสียงรบกวนิกส์ที่แตกต่างกันได้ ค่าความผิดเพี้ยนาร์มอนิกส์รวมของกระแสกระแสนี้จะลดลงจาก 30.32% เหลือ 11.99%

#### ข) กรณีจ่ายไฟหลอด 4 ชุดพร้อมกัน

HMT แบบขดลวดทุติยภูมิ 4 ชุด เมื่อจ่ายไฟหลอดพร้อมกันสามารถลดกระแสเสียงรบกวนิกส์อันดับที่ 5, 7, 11, 13, 17 และ 19 ได้ ทำให้กระแสเสียงรบกวนิกส์เหลือน้อยมากโดยอันดับแรกจะอยู่ที่ 23 ดังแสดงในรูปที่ 7



รูปที่ 7 กระแสและสเปกตรัมของ HMT เมื่อจ่ายไฟหลอดพร้อมกันทั้ง 4 ชุด

เมื่อพิจารณารูปที่ 7 จะเห็นว่ากระแสด้านปฐมภูมิของหม้อแปลงเลื่อนเฟสจะมีลักษณะใกล้เคียงกัน เมื่อนำกระแสมาแทรกสเปกตรัมจะได้ดังรูปด้านล่าง และเมื่อนำไปเชื่อมโยงกับผลการจำลองในรูปที่ 5 และ 6 จะสามารถอธิบายได้ว่าชุดที่ 1 และ 3 จะหักล้างกระแสเสียงรบกวนิกส์อันดับที่ 5, 7, 17 และ 19 ส่วนชุดที่ 1 และ 2 จะหักล้างกระแสเสียงรบกวนิกส์อันดับที่ 5, 7, 17 และ 19 ของชุดที่ 2 และ 4 จะหักล้างกัน ในขณะที่กระแสเสียงรบกวนิกส์อันดับที่ 11 และ 13 ของชุดที่ 3 และ 4 จะหักล้างเข่นเดียวกันทำให้กระแสเสียงรบกวนิกส์เริ่มต้นอยู่อันดับที่ 23 และค่าความผิดเพี้ยนาร์มอนิกส์รวมของกระแสลดลงเหลือเพียง 5.65% เท่านั้นและจากผลการจำลองในแต่ละกรณีจะได้ค่ากระแสที่ค่ารวมถึงหลักมูล 1.175, 2.38, 2.38 และ 4.76 A ตามลำดับและค่าร้อยละกระแสเสียงรบกวนิกส์ในแต่ละอันดับแสดงดังตารางที่ 1

ตารางที่ 1 ค่ากระแสเสียงรบกวนิกส์เมื่อจ่ายไฟหลอดทั้ง 4 กรณี

Loads of Sec.	Current harmonics in each order (%)								THDI (%)
	5	7	11	13	17	19	23	25	
1	22.69	11.26	9.06	6.38	5.62	4.39	4.03	3.29	30.32
1+2	15.78	7.81	-	-	3.98	3.21	3.98	3.26	17.85
1+3	-	-	8.94	6.3	-	-	3.98	3.26	11.99
1+2+3+4	-	-	-	-	-	-	3.98	3.25	5.65

### 2.2.2 ค่าสูญเสียของหม้อแปลงไฟฟ้าจากผลของ กระแสอาร์มอนิกส์

ค่าสูญเสียหม้อแปลงไฟฟ้าตอนเร็วลดคือค่า สูญเสียที่แกนเหล็กส่วนมากจะเชื่อมโยงกับาร์มอนิกส์ เนพาะแรงดันเท่านั้นโดยไม่ขึ้นกระระยะทางของหม้อแปลงไฟฟ้าในขณะจ่ายโหลดไม่เชิงเส้นจะได้จาก การเพิ่มขึ้นของค่าสูญเสียตอนจ่ายโหลดอันมีสาเหตุมา จากกระแสอาร์มอนิกส์ซึ่งสามารถถลกเลี้ยงค่าสูญเสียที่ แกนเหล็กได้ จากเหตุผลดังกล่าวข้างต้นค่าสูญเสียของ หม้อแปลงไฟฟ้าในขณะจ่ายโหลดไม่เชิงเส้นจะได้จาก ผลกระทบของค่าสูญเสียที่ขาด漉วที่เกิดจากผลของกระแส อาร์เอ็มເອສและค่าสูญเสียจากการกระแสไฟลวนที่ขาด漉วซึ่ง สามารถคำนวณได้ตามสมการที่ (7)

$$P_w = P_{DC} + P_{EC} \quad (7)$$

- การเพิ่มขึ้นของกระแสไฟฟ้าตอนเนื่องมาจาก องค์ประกอบอาร์มอนิก จะส่งผลให้ค่าสูญเสียในเทอม กระแสอาร์เอ็มເອສของหม้อแปลงไฟฟ้ามีการเพิ่มขึ้น ตามกระแสยกกำลังสอง ซึ่งค่าสูญเสียนี้หากได้จาก

$$P_{DC} = R_{DC} I_{rms}^2 = R_{DC} \sqrt{\sum_{n=0}^{\infty} I_{n,rms}^2} \quad (8)$$

เมื่อ  $R_{DC}$  คือความต้านทานไฟฟาร์กของขาด漉วที่ไม่มีผล มาจากปรากฏการณ์ทางพิวิชาได้ด้วยเครื่องวัดความ ต้านทานไฟฟาร์ก

- ค่าสูญเสียจากการกระแสไฟลวนที่ขาด漉ว(Winding eddy current losses) [24] จะเป็นสัดส่วนกับกระแส ยกกำลังสองและความถี่ยกกำลังสองหากหม้อแปลง ไฟฟ้าจ่ายกระแสที่พิกัด  $I_R$  ค่าสูญเสียจากการกระแส ไฟลวนที่ขาด漉วจะสอดคล้องตามสมการที่ (9)

$$P_{EC} = P_{EC-R} \sum_{n=1}^{n=n_{max}} n^2 \left( \frac{I_n}{I_R} \right)^2 \quad (9)$$

โดยที่

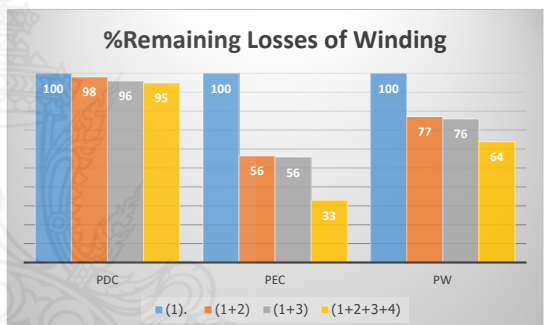
$I_n$  = ขนาดของกระแสอาร์มอนิกส์ที่อันดับต่างๆ

$I_R$  = กระแสพิกัดที่ความถี่หลักของหม้อแปลง

$n$  = อันดับอาร์มอนิกส์

$P_{EC-R}$  = ค่าสูญเสียจากการกระแสไฟลวนที่ขาด漉วจาก ความถี่หลัก

จากข้อมูลที่ได้กล่าวมาทั้งหมดจะเห็นได้ว่าหม้อ- แปลงไฟฟ้าจะมีค่าสูญเสียเพิ่มขึ้นเมื่อต้องจ่ายโหลดไม่ เชิงเส้นที่มีองค์ประกอบของอาร์มอนิก ตั้งนั้นเพื่อหา ความสัมพันธ์ว่ากระแสอาร์มอนิกส์มีผลต่อค่าสูญเสีย อย่างไร เราจึงสามารถนำกระแสอาร์มอนิกส์ของหม้อ- แปลงเลื่อนเฟสในแต่ละกรณีตามตารางที่ 1 มาใช้ ร่วมกับสมการที่ (7)-(9) หากความสัมพันธ์ได้ดังรูปที่ 8



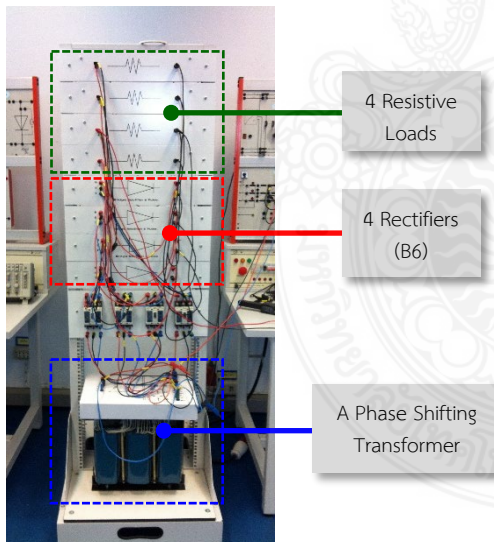
รูปที่ 8 ค่าร้อยละการสูญเสียของขาด漉วในแต่ละกรณี เมื่อเทียบกับกรณีจ่ายโหลดชุดเดียว

จากรูปที่ 8 จะเห็นได้ว่าเมื่อกระแสอาร์มอนิกส์ ลดลงค่าสูญเสียรวมของขาด漉วจะลดลงอย่างมากโดย จะลดลงมากสุดเมื่อจ่ายโหลดพร้อมกันทั้ง 4 ชุด เหลือ เพียง 64% และหากพิจารณาค่าสูญเสียกรณีจ่ายโหลด 2 ชุดพร้อมกัน พบว่าในกรณีจ่ายโหลดชุดที่ 1 และ 2 พร้อมกันจะลดลงเหลือ 77% และกรณีจ่ายโหลดชุดที่ 1 และ 3 พร้อมกันจะลดลงเหลือ 76% ซึ่งค่าสูญเสียทั้ง สองกรณีจะลดลงใกล้เคียงกัน นอกจานั้นเมื่อพิจารณา ค่าสูญเสียในแต่ละกรณีพบว่าค่าสูญเสียในเทอมของ กระแสอาร์เอ็มເອສ  $P_{DC}$  จะลดลงเพียงเล็กน้อยเท่านั้น แต่ค่าสูญเสียในเทอมที่เกิดจากการกระแสไฟลวนที่ขาด漉ว  $P_{EC}$  จะลดลงอย่างมีนัยสำคัญ

### 3. ผลการศึกษาและอภิปรายผล

รูปที่ 9 คือฮาร์ดแวร์ต้นแบบระดับสเกลห้องปฏิบัติการที่ใช้ในการทดสอบจริงประกอบด้วย

- HMT ที่มีขีดความสามารถ 4 ชุด มุ่งเลื่อนเฟสในแต่ละชุด 15 องศา ขนาด 4kVA, 400V/400V
- วงจรเรียงกระแส 6 พลัส 4 ชุดซึ่งเป็นตัวแทนของโหลดไม่เชิงเส้นในระบบขับเคลื่อนมอเตอร์
- โหลดความต้านทานปรับค่าได้ 4 ชุด สำหรับปรับกระแสให้ได้ %โหลดที่ต้องการ ซึ่งในกรณีนี้การใช้โหลดความต้านทานที่ไม่มีตัวเก็บประจุแต่ก็สามารถสร้างกระแสอาร์มอนิกส์ได้
- การวัดกำลังไฟฟ้าและอาร์มอนิกส์จะใช้เครื่องวัดและวิเคราะห์กำลังไฟฟ้า (Power Quality and Energy Analyzer) ยี่ห้อ Fluke รุ่น 435 ซึ่งเป็นเครื่องมือวัดที่มีคุณสมบัติเป็นไปตามมาตรฐาน IEC61000-4-30 คลาส A

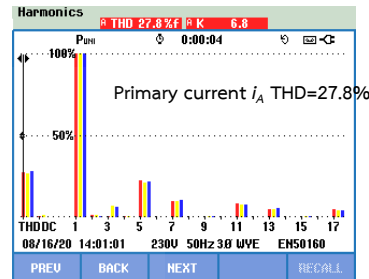


รูปที่ 9 ฮาร์ดแวร์ที่ใช้ในการทดสอบกระแสอาร์มอนิกส์ ต่อค่าสูญเสียของหม้อแปลงไฟฟ้าเลื่อนเฟส

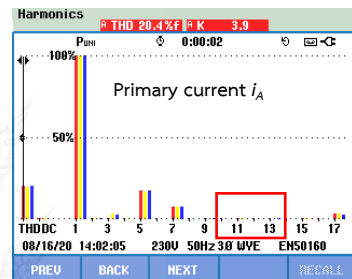
เพื่อวิเคราะห์พฤติกรรมของ HMT เมื่อจ่ายโหลดไม่เชิงเส้นที่มีกระแสอาร์มอนิกส์แตกต่างกันจะให้ผลต่อค่าสูญเสียแตกต่างกันอย่างไร ดังนั้นจะแสดงผลการทดสอบกำลังไฟฟ้าของ HMT ดังนี้

#### 3.1 การทดสอบจ่ายโหลดแต่ละชุดที่แตกต่างกันต่ออันดับและปริมาณกระแสอาร์มอนิกส์

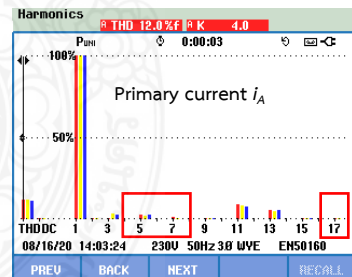
เพื่อยืนยันแนวคิดที่นำเสนอดังนั้นจะทดสอบการจ่ายโหลดที่แตกต่างกันต่อค่ากระแสอาร์มอนิกส์แล้วนำไปเปรียบเทียบกับผลการจำลองซึ่งจะได้ดังรูปที่ 10



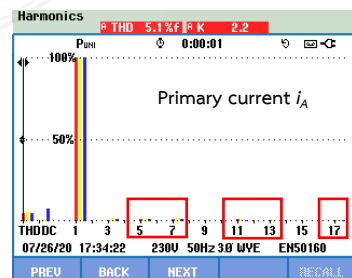
ก) การจ่ายโหลดเพียงชุดเดียว



ข) การจ่ายโหลดชุดที่ 1 และ 2 พร้อมกัน



ค) การจ่ายโหลดชุดที่ 1 และ 3 พร้อมกัน



ง) การจ่ายโหลด 4 ชุดพร้อมกัน

รูปที่ 10 สเปกตรัมและ %THDI กระแสด้านปฐมภูมิ

รูปที่ 10 แสดงสเปกตรัมกระแสด้านปฐมภูมิของ การจ่ายโหลดในแต่ละกรณี จากรูปจะเห็นได้ว่าอาร์มอนิกส์จะมีค่าสูงสุดเมื่อจ่ายโหลดชุดเดียวเนื่องจากเป็นกรณีที่ยังไม่ได้ลดอาร์มอนิกส์เลย ถัดมาเป็นการจ่ายโหลดชุดที่ 1 และ 2 พร้อมกันกรณีนี้อาร์มอนิกส์อันดับที่ 11 และ 13 จะหายไป ในขณะที่การจ่ายโหลดชุดที่ 1 และ 3 พร้อมกันอาร์มอนิกส์อันดับที่ 5, 7 และ 17 จะหายไป และอาร์มอนิกส์จะมีค่าต่ำสุดเมื่อจ่ายโหลดพร้อมกัน 4 ชุด สอดคล้องตามผลการจำลองในรูป 5-7 ค่าอาร์มอนิกส์ในแต่ละกรณีแสดงได้ดังตารางที่ 2

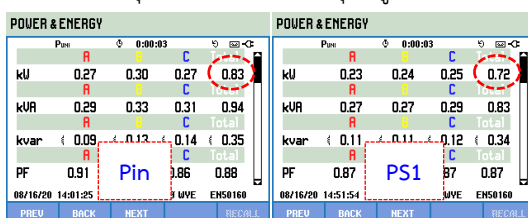
ตารางที่ 2 ผลการทดสอบค่าอาร์มอนิกทั้ง 4 กรณี

Loads of Sec.	1	1+2	1+3	1+2+3+4
%THDi	27.8	20.4	12.0	5.1
IEEE 519( $\leq 15\%$ )	x	x	✓	✓

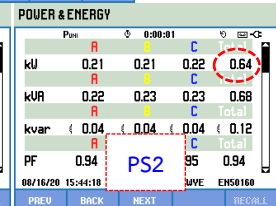
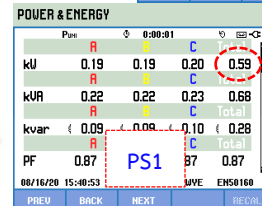
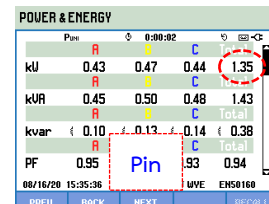
จากตารางที่ 2 เมื่อนำไปเปรียบเทียบกับตารางที่ 1 พบร่วมผลการทดสอบจะให้ %THDi ที่ใกล้เคียงกับผลการจำลอง เมื่อนำค่าดังกล่าวมาอ้างอิงกับมาตรฐาน IEEE 519 พบว่ากรณีจ่ายโหลดชุดเดียวและจ่ายโหลดชุดที่ 1 และ 2 พร้อมกันจะไม่เป็นไปตามมาตรฐานเนื่องจากมี %THDi มากกว่า 15% ในขณะที่จ่ายโหลดชุดที่ 1 และ 3 พร้อมกันและจ่ายโหลด 4 ชุด จะผ่านมาตรฐาน

### 3.2 การทดสอบเพื่อหาความสัมพันธ์ระหว่างค่าสัญญาณของหม้อแปลงไฟฟ้าต่อกระแสอาร์มอนิกส์ที่มีปริมาณและอันดับแตกต่างกัน

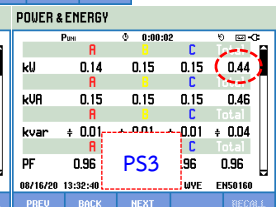
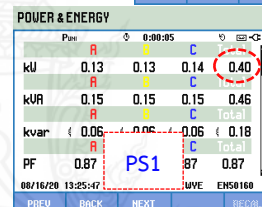
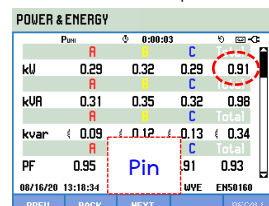
การทดสอบจ่ายโหลดที่ค่าร้อยละของกระแสพิ กัด 25%, 50%, 75% และ 100% จะใช้ค่าความต้านทาน 1,225, 612, 410 และ 340 โอห์ม ตามลำดับโดยมีจำนวนชุดการจ่ายโหลดด้านที่ปฐมภูมิ 4 กรณี



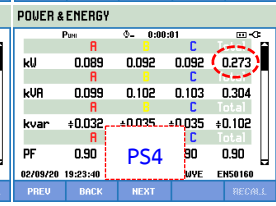
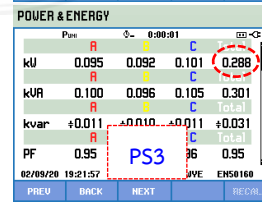
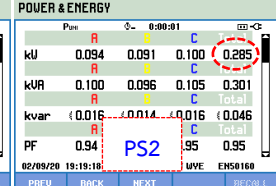
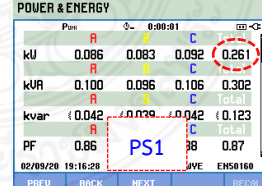
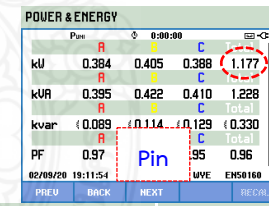
ก) กำลังไฟฟ้ากรณีจ่ายโหลดชุดเดียว(100%load)



ข) กำลังไฟฟ้าเมื่อจ่ายโหลดชุด 1 และ 2 (75%load)



ค) กำลังไฟฟ้าเมื่อจ่ายโหลดชุด 1 และ 3 (50%load)



ง) กำลังไฟฟ้ากรณีจ่ายโหลด 4 ชุด (25%load)

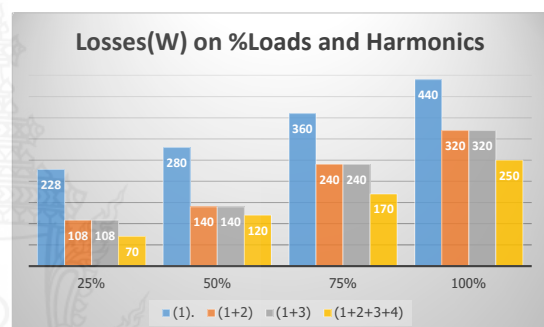
รูปที่ 11 ผลการทดสอบกำลังไฟฟ้าด้านเข้า และด้านออกเมื่อจ่ายโหลดตามเงื่อนไขที่แตกต่างกัน

รูปที่ 11 คือผลการทดสอบกำลังไฟฟ้าด้านปฐมภูมิและทุติยภูมิบางส่วน (รูปที่ 11ก) แสดงกำลังไฟฟ้าของกรณีจ่ายโหลดเพียงชุดเดียวเมื่อจ่ายโหลด 100% ส่วนรูปที่ 11ข) คือกำลังไฟฟ้าของกรณีจ่ายโหลดชุดที่ 1 และ 2 พร้อมกันเมื่อจ่ายโหลด 75% (ดูตารางที่ 11ค) คือกำลังไฟฟ้าของกรณีจ่ายโหลดชุดที่ 1 และ 3 พร้อมกันเมื่อจ่ายโหลด 50% และสุดท้ายรูปที่ 11ง) แสดงกำลังไฟฟ้าของกรณีจ่ายโหลดทั้ง 4 ชุดพร้อมกันเมื่อจ่ายโหลด 25% เมื่อนำกำลังไฟฟ้าจริง(W) หั้งหนดที่ได้จากการทดสอบในขณะจ่ายโหลด 25% 50% 75% และ 100% ตามลำดับทั้ง 4 กรณีจะแสดงได้ดังตารางที่ 3

ตารางที่ 3 กำลังไฟฟ้าของหมวดแปลงไฟฟ้าเมื่อจ่ายโหลด 25%, 50%, 75% และ 100% ที่กระแสพิกัดทั้ง 4 กรณี

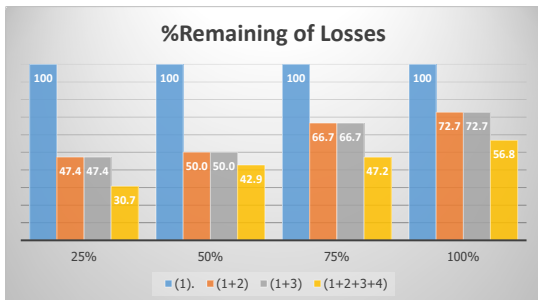
Loads of Sec.	Secondary Power (W)				Pout (W)	Pin (W)
	PS1	PS2	PS3	PS4		
<b>25% Rated Trans.</b>						
1	262	-	-	-	262	319
1+2	261	287	-	-	548	602
1+3	262	-	289	-	551	605
1+2+3+4	261	285	288	273	1107	1177
<b>50% Rated Trans.</b>						
1	400	-	-	-	400	470
1+2	400	430	-	-	830	900
1+3	400	-	440	-	840	910
1+2+3+4	380	410	420	390	1600	1720
<b>75% Rated Trans.</b>						
1	600	-	-	-	600	690
1+2	590	640	-	-	1230	1350
1+3	580	-	640	-	1220	1340
1+2+3+4	460	500	510	490	1960	2130
<b>100% Rated Trans.</b>						
1	720	-	-	-	720	830
1+2	700	750	-	-	1450	1610
1+3	700	-	750	-	1450	1610
1+2+3+4	600	650	650	620	2520	2770

จากตารางที่ 3 ค่ากำลังไฟฟ้าด้านเข้า(Pin)คือ กำลังไฟฟ้าด้านปฐมภูมิส่วนค่ากำลังไฟฟ้าด้านออก (Pout) ในแต่ละเงื่อนไขจะได้จากการนำกำลังไฟฟ้าด้านทุติยภูมิในแต่ละชุดมารวมกันยกตัวอย่างเช่นกำลังไฟฟ้าด้านออกของกรณีจ่ายโหลดชุดที่ 1 และ 2 พร้อมกันเมื่อจ่ายโหลด 75% จะได้กำลังไฟฟ้าด้านออกคือ ผลรวมของกำลัง PS1+PS2 = 590W+640W=1230W เป็นต้น กรณีอื่นก็คิดได้ในทำนองเดียวกันและเมื่อนำกำลังไฟฟ้าด้านเข้าและด้านออกในแต่ละเงื่อนไขมาหาผลต่างจะได้ความสัมพันธ์ของค่าสูญเสียดังในรูปที่ 12



รูปที่ 12 ความสัมพันธ์ระหว่างค่าสูญเสียต่อกระแสไฟฟ้ามอนิกส์ในแต่ละกรณีและค่าร้อยละของกระแสพิกัด

จากรูปที่ 12 จะเห็นได้ว่าการจ่ายโหลดชุดเดียวจะมีค่าสูญเสียค่อนข้างสูงแต่เมื่อจ่ายโหลดเพิ่มขึ้นเป็น 2 ชุดค่าสูญเสียจะลดลง ทั้งกรณีจ่ายโหลดชุดที่ 1 และ 2 พร้อมกัน และกรณีจ่ายโหลดชุดที่ 1 และ 3 พร้อมกัน แม้ว่าการลดอันดับและปริมาณกระแสไฟฟ้ามอนิกส์ของทั้งสองกรณีจะแตกต่างกันดังในรูปที่ 10 แต่ค่าสูญเสียจะมีค่าที่ใกล้เคียงกันเนื่องจากปัจจัยหลักเกิดค่าสูญเสียของกระแสไฟฟ้าที่ขดลวดที่มีผลมาจากการอันดับ harmonic อนิกส์ด้วยไม่ใช่เพียงแค่ขนาดกระแสไฟฟ้ามอนิกส์เท่านั้น ซึ่งจะสอดคล้องตามผลการจำลองในรูปที่ 8 ในขณะที่การจ่ายโหลดพร้อมกัน 4 ชุด จะให้ค่าสูญเสียลดลงอย่างมีนัยสำคัญ ซึ่งสามารถแสดงการลดลงของค่าสูญเสียเมื่อเทียบกับกรณีจ่ายโหลดชุดเดียวในแต่ละกรณีได้ดังรูปที่ 13



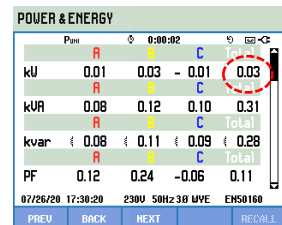
รูปที่ 13 ค่าร้อยละการสูญเสียที่เหลืออยู่ในแต่ละเงื่อนไขเมื่อเทียบกับกรณีจ่ายโหลดชุดเดียว

เมื่อพิจารณารูปที่ 13 พบว่าการลดลงของค่าสูญเสียสำหรับการจ่ายโหลด 2 ชุดจะเหลือน้อยกว่า 73% ในขณะที่การจ่ายโหลด 4 ชุดจะลดลงได้มากกว่า เหลืออยู่ไม่เกิน 57% เนื่องจากกรณีนี้กระแสอาร์ม่อนิกส์อันดับแรกจะอยู่ที่ 23 ทำให้กระแสส่วนใหญ่จะมีแต่ความถี่ หลักมูลนอกจากนั้นหากพิจารณาค่าร้อยละของกระแสฟิลด์ในการจ่ายโหลดพบว่าที่ค่าต่ำการลดลงของค่าสูญเสียจะลดลงมากกว่าเนื่องจากเป็นจุดทำงานที่ค่าสูญเสียของโหลดจะเข้าใกล้กับค่าสูญเสียของแกนเหล็กซึ่งมีอัตราการเปลี่ยนแปลงจะมีประสิทธิภาพสูงสุดเมื่อค่าสูญเสียของห้องทั้งคู่เท่ากัน[25] และที่สำคัญผลการทดสอบบังแสดงให้เห็นว่าการใช้หม้อแปลงเลื่อนเฟสจ่ายโหลด 4 ชุดพร้อมกันจะสามารถลดค่าสูญเสียได้เกือบครึ่งเมื่อเทียบกับการจ่ายโหลดชุดเดียวที่ยังไม่ลดกระแสอาร์ม่อนิกส์

### 3.3 การเปรียบเทียบการประหยัดพลังงาน

เพื่อเปรียบเทียบการใช้พลังงานของกรณีจ่ายโหลด 4 ชุดพร้อมกันกับกรณีจ่ายโหลดชุดเดียว โดยในที่นี้จะใช้ผลการทดสอบในตารางที่ 3 เมื่อจ่ายโหลด 75% ของกระแสฟิลด์ซึ่งจะเป็นกรณีทั่วไปในการจ่ายโหลดของหม้อแปลง เมื่อทราบแล้วว่ากำลังไฟฟ้าด้านเข้าและด้านออกกรณีจ่ายโหลดชุดเดียวเป็นเท่าไรเราจึงหาค่าสูญเสียขณะจ่ายโหลด(On load losses)ได้ และหากเราทราบค่าสูญเสียของแกนเหล็ก(Core losses) ดัง

แสดงในรูปที่ 14 เป็นเท่าไร เราจึงทราบค่าสูญเสียที่ขาด漉ด(Copper losses) ได้เช่นเดียวกัน และเพื่อให้ค่าสูญเสียดังกล่าวสามารถนำมาเปรียบเทียบกับกรณีจ่ายโหลด 4 ชุดพร้อมกันได้ เราจะต้องนำค่าสูญเสียดังกล่าวมาคูณด้วย 4 เท่า สุดท้ายจึงได้ค่าสูญเสียที่ขาด漉ดที่จะนำมาใช้หากาค่าพลังงานเพื่อเปรียบเทียบกันดังตารางที่ 4



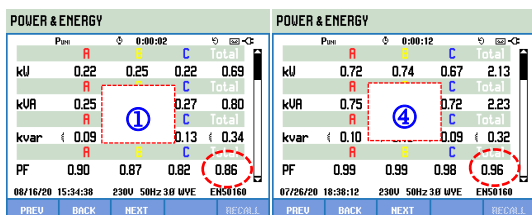
รูปที่ 14 ผลการทดสอบกำลังไฟฟ้าของหม้อแปลงขณะจ่ายโหลดที่แรงดันพิภัตต์

### ตารางที่ 4 การเปรียบเทียบค่าสูญเสียของหม้อแปลงขณะจ่ายโหลด 75%

No.of Loads	Pin (W)	Pout (W)	On load losses(W)	Core Losses(W)	Copper Losses(W)
①	690	600	90	30	60*4=240
④	1,350	1,230	120	30	90

หมายเหตุ ①คือการจ่ายโหลดชุดเดียว ④คือการจ่ายโหลด 4 ชุดพร้อมกัน

ตารางที่ 4 แสดงการเปรียบเทียบค่าสูญเสียของหม้อแปลงเลื่อนเฟสขนาด 4 kVA ระหว่างกรณีจ่ายโหลด 1 ชุด และ 4 ชุด เมื่อจ่ายโหลด 75% จากตารางแสดงให้เห็นว่าค่าสูญเสียกรณีจ่ายโหลด 1 ชุดคิดเป็น 4 ชุดจะมีค่าสูงกว่ากรณีจ่ายโหลด 4 ชุดประมาณ 150 W ดังนั้นหากคิดว่าหม้อแปลงไฟฟ้าทำงานวันละ 8 ชั่วโมงเดือนละ 26 วัน การลดกระแสอาร์ม่อนิกส์จะสามารถช่วยลดการใช้พลังงานไฟฟ้าลงได้ประมาณ 374.4 หน่วย/ปี ( $150\text{W} \times 8\text{ชม} \times 26\text{วัน} \times 12\text{เดือน}/1000$ ) คิดเป็นเงินประมาณ 1,621.04 บาท/ปี (4.3297 บาท/หน่วย, PEA) และหากคิดตามอายุใช้งานของหม้อแปลง 25 ปี จะได้ประมาณ 40,526 บาท นอกจากนั้นหากพิจารณาค่าตัวประกอบกำลังทั้งสองกรณีด้วยจะได้ดังรูปที่ 15



รูปที่ 15 ผลการทดสอบตัวประกอบกำลังกรณีจ่ายโหลดชุดเดียวและจ่ายโหลด 4 ชุดสำหรับโหลด 75%

จากรูปที่ 15 จะเห็นได้ว่าค่าตัวประกอบกำลังของการจ่ายโหลด 4 ชุดจะมีค่าสูงถึง 0.96 แต่กรณีจ่ายโหลดชุดเดียวจะมีค่าต่ำเพียง 0.86 เท่านั้นซึ่งเกิดจากกระแสเสาร์มอนิกส์ที่สูงดังแสดงความสัมพันธ์ตามสมการที่(6) หากค่าตัวประกอบกำลังดังกล่าวต่ำกว่า 0.85 ซึ่งเกินจากข้อกำหนดของการไฟฟ้าจะถูกปรับค่าวาร์ (Var charge) เพิ่มเติมได้ด้วย ดังนั้นการลดกระแสเสาร์มอนิกส์จึงช่วยให้ไม่ต้องเสียค่าวาร์ได้อีกทางหนึ่ง

#### 4. สรุป

บทความนี้ได้นำเสนอการศึกษาผลของกระแสเสาร์มอนิกส์จากการเรียงกระแสแบบบริดจ์ 6 พัลส์ที่เป็นตัวแทนของโหลดไม่เชิงเส้น 3 เฟส 3 สาย ในระบบควบคุมมอเตอร์ต่อค่าสูญเสียของหม้อแปลงไฟฟ้า ในบทความนี้ได้ประยุกต์ใช้หม้อแปลงเลื่อนเฟสแบบชุดลวดทุติยภูมิ 4 ชุดมาจ่ายโหลดอย่างอิสระ ผลการวิจัยแสดงให้เห็นว่ากระแสเสาร์มอนิกส์จะทำให้ค่าสูญเสียจากกระแสไฟฟ้าที่ขดลวดเพิ่มสูงขึ้นอย่างมีนัยสำคัญทำให้การจ่ายโหลดชุดที่ 1 และ 2 พร้อมกันและชุดที่ 1 และ 3 พร้อมกันมีค่าสูญเสียไกล์เคียงกันแม้ว่าค่า %THDi จะแตกต่างกันอย่างไรก็ตามกรณีการจ่ายโหลดชุดที่ 1 และ 2 พร้อมกัน %THDi จะมีค่าประมาณ 20% จึงไม่เป็นไปตามมาตรฐาน IEEE 519 ในขณะที่การจ่ายโหลด 4 ชุดพร้อมกัน %THDi จะเป็นไปตามมาตรฐานและยังลดค่าสูญเสียได้ต่ำกว่า 57% เมื่อเทียบกับการจ่ายโหลดชุดเดียวซึ่งทำให้สามารถลดการใช้พลังงานได้มาก ดังนั้น

หากนำหม้อแปลงไฟฟ้าเลื่อนเฟสมาประยุกต์ใช้ในระบบควบคุมความเร็วมอเตอร์จะสามารถลดกระแสเสาร์มอนิกส์ได้ตามมาตรฐานและลดการใช้พลังงานได้ด้วย

#### 5. กิตติกรรมประกาศ

ขอขอบคุณมหาวิทยาลัยเทคโนโลยีราชมงคลสุวรรณภูมิในการสนับสนุนทุนวิจัย

#### 6. เอกสารอ้างอิง

- [1] B. K. Bose, *Modern Power Electronics and AC Drives*, Pearson Education, New Delhi, 2001.
- [2] *IEEE Recommended Practices and Requirements for Harmonic Control in Electrical Power Systems*, IEEE std. 519-1992, 1992.
- [3] *Limits of Harmonics in Electricity for Business and Industry*, PRC-PQG-01-1998, 1998.
- [4] E.F.Fuchs, D.Yildirim and W.M.Grady, “Measurement of eddy-current loss coefficient PEC-R, derating of single-phase transformers, and comparison with K-factor approach,” *IEEE Trans. Power Delivery*, vol. 15, pp. 148–154, Jan. 2000.
- [5] T.C. Sekar, B.J. Rabi, “A Review and Study of Harmonic Mitigation Techniques,” in *Proc. of ICETEEEM-2012*, IEEE, 2012, pp. 93–97.
- [6] B. Singh, S. Gairola, B. N. Singh, A. Chandra, and K. Al-Haddad, “Multipulse AC-DC converters for improving power quality: A review,” *IEEE Trans. Power Electron.*, vol. 23, no. 3, pp. 260–281, Jan. 2008.

- [7] J. Rodriguez, J.-S. Lai, and F. Z. Peng, "Multilevel inverters: A survey of topologies, controls, and applications," *IEEE Trans. Ind. Electron.*, vol. 49, no. 4, pp. 724–738, Aug. 2002.
- [8] B. Singh, G. Bhuvaneswari, and V. Garg, "A novel polygon based 18-pulse AC-DC converter for vector controlled induction motor drives," *IEEE Trans. Power Electron.*, vol. 22, no. 2, pp. 488–497, Feb. 2007.
- [9] B. S. Lee, P. N. Enjeti, and I. J. Pitel, "A new 24-pulse diode rectifier system for ac motor drives provides clean power utility interface with low kVA components," in *Proc. IEEE IAS'96*, 1996, pp. 1024–1031.
- [10] S. Choi, B. S. Lee, and P. N. Enjeti, "New 24-pulse diode rectifier systems for utility interface of high power AC motor drives," *IEEE Trans. Ind. Appl.*, vol. 33, no. 2, pp. 531–541, Mar./Apr. 1997.
- [11] F. J. Chivite-Zabalza, A. J. Forsyth, and D. R. Trainer, "A simple passive 24-pulse ac-dc converter with inherent load balancing," *IEEE Trans. Power Electron.*, vol. 21, no. 2, pp. 430–439, Mar. 2006.
- [12] B. Singh, G. Bhuvaneswari, and V. Garg, "T-connected autotransformer-based 24-pulse ac-dc converter for variable frequency induction motor drives," *IEEE Trans. Energy Conv.*, vol. 21, no. 3, pp. 663–672, Sep. 2006.
- [13] B. Singh, G. Bhuvaneswari, and V. Garg, "24-pulse ac-dc converter for power quality improvement in vector controlled induction B motor drives," *Int. J. Electr. Power Compon. Syst.*, vol. 34, no. 10, Oct. 2006, pp. 1077–1098.
- [14] B. Singh, V. Garg, and G. Bhuvaneswari, "Polygon connected autotransformer based 24-pulse ac-dc converter for power quality improvement," in *Proc. India Int. Conf. Power Electron. IICPE'06*, Chennai, India, Dec. 19–21, 2006, pp. 125–130.
- [15] B. Singh and S. Gairola, "A fork connected auto-transformer based 24-pulse ac-dc converter," in *Proc. India Int. Conf. Power Electron. IICPE, Chennai*, India, Dec. 19–21, 2006, pp. 183–187.
- [16] B. Singh, V. Garg, and G. Bhuvaneswari, "Polygon-connected autotransformer-based 24-pulse AC-DC converter for vector controlled induction-motor drives," *IEEE Trans. Ind. Electron.*, vol. 55, no. 1, pp. 197–208, Jan. 2008.
- [17] P. Kiatsookkanatorn, N. Watjanatepin, "Power Quality Improvement by Using a 15-Degree Phase Shifting Transformer for 24-Pulse Rectifiers," *LADKRABANG ENGINEERING JOURNAL.*, vol 34, no 1, PP 9–16, March. 2017.
- [18] B. Wu, *High-Power Converters and AC Drives*. Piscataway, NJ: IEEE Press, 2006, pp. 68–76.
- [19] D.Yildirim and E.F Fuchs, "Measured transformer derating and comparison with harmonic loss factor (FHL) approach," *IEEE Trans. Power Delivery*, vol. 15, pp. 186 – 191, Jan. 2000.

- [20] A. Elmoudi, M. Lehtonen and H. Nordman, “Effect of harmonics on transfontners loss of life,” in *IEEE Int'l Sympos. Elec. Insulation*, 2006, pp. 408-411.
- [21] N. Mohan, T. Undeland and W.P. Bobbins, *Power Electronics - Converters, Applications and Design*, John Wiley & Sons, 3rd Edition, 2003. pp.103 – 106.
- [22] L. W. Pierce, “Transformer design and application considerations for nonsinusoidal load currents,” *IEEE Trans. on Ind. Appl.*, vol. 32, no. 3, pp. 633–645, May/June 1996.
- [23] MIRUS international Inc. (2021, September 27). Harmonic Mitigating Transformers. [Online]. Available: <http://www.mirusinternational.com>.
- [24] *IEEE Recommended Practice for Establishing Liquid-Filled and Dry-Type Power and Distribution Transformer Capability when Supplying Nonsinusoidal Load Currents*, IEEE C57.110-2008, August 2008.
- [25] B.L.Theraja, A.K. Theraja, “Transformers,” in *A Text Book of Electrical Technology S.I. units*, vol. 2: AC and DC machines, 23rd ed. India, S Chand & Co Ltd., 2006, pp. 1169.